

С 341, 12

Изд. АН СССР, сер. физ., 1971

23/IV-VI

В-46

Т. 35~8, с. 1542-1949.

СООБЩЕНИЯ  
ОБЪЕДИНЕННОГО  
ИНСТИТУТА  
ЯДЕРНЫХ  
ИССЛЕДОВАНИЙ

Дубна

9.20/2-71



P3 - 5553

e+

И. Вильгельм, Ю.П. Попов, М. Пшитула,  
Р.Ф. Руми, М. Стэмпиньски

АЛЬФА-РАСПАД  
РЕЗОНАНСНЫХ СОСТОЯНИЙ  
САМАРИЯ-148

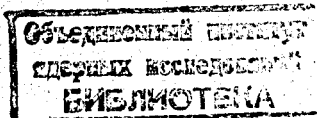
Альфа-распад ионов финики

1970

P3 - 5553

И. Вильгельм, Ю.П. Пог в, М. Пшитула,  
Р.Ф. Руми, М. Стэмпиньски

АЛЬФА-РАСПАД  
РЕЗОНАНСНЫХ СОСТОЯНИЙ  
САМАРИЯ-148



## 1. Введение

Измеряемый в нейтронной спектроскопии набор резонансных параметров ( $E_0$ ,  $\Gamma$ ,  $\Gamma_n$ ,  $\Gamma_\gamma$ ,  $\Gamma_t$ ,  $J$ ) используется, как правило, для получения усредненных характеристик возбужденного ядра и анализа статистических закономерностей. Исследование сложной природы возбужденных резонансных состояний требует более обширного набора характеристик индивидуальных резонансов, связанных с их структурой. К таким характеристикам можно причислить парциальные радиационные ширины, а также полные и парциальные ширины  $\alpha$ -распада резонансных состояний для тех ядер, на которых в настоящее время можно наблюдать реакцию ( $n, \alpha$ ).

Исследование резонансных реакций ( $n, \alpha$ ) на средних и тяжелых ядрах с помощью резонансных нейтронов является трудной экспериментальной задачей из-за очень малых сечений этой реакции и большого выхода  $\gamma$ -лучей в конкурирующей реакции ( $n, \gamma$ ). Первые измерения реакции ( $n, \alpha$ ), в основном для редкоземельных элементов, проведены в области тепловых энергий нейтронов (например, /1-4/).

Поиски реакции ( $n, \alpha$ ) и измерения полных и парциальных  $\alpha$ -ширин в резонансной области энергии нейтронов проводились лишь в ОИЯИ на импульсном реакторе ИБР /5-10/.

Настоящая работа является расширением круга исследуемых резонансов реакции ( $n, \alpha$ ) на ядре  $^{147}\text{Sm}$  /5,9,11/. Даются полные  $\alpha$ -ширины  $\approx 20$  резонансов в области энергий до 200 эв, спектры

$\alpha$  -частиц и парциальные  $\alpha$  -ширины для 11 резонансов и значения спина для некоторых из них.

## 2. Методика измерения

Измерения проводились на пучке нейтронов импульсного реактора ИБР ОИЯИ, работавшего в качестве бустера совместно с линейным ускорителем электронов. Спектрометрия нейтронов осуществлялась по времени пролета с разрешением 0,13 мкsec/м. Схема эксперимента аналогична использованной нами ранее<sup>10</sup>. Для измерения спектров  $\alpha$  -частиц использовалась двойная ионизационная камера с сетками с разрешением на пучке нейтронов  $\approx 300$  кэв при  $E_\alpha = 8 - 10$  Мэв и толщине мишени 0,45 мг/см<sup>2</sup>. Площадь мишени из  $\text{Sm}_2\text{O}_3$ , обогащенной изотопом <sup>147</sup>Sm до 96,4%, была 1500 см<sup>2</sup>.

Импульсы из камер после усиления регистрировались на магнитной ленте многомерного анализатора. Записывались коды времени пролета, амплитуды и номера камеры.

## 3. Результаты измерения

На рис. 1 представлена зависимость счёта  $\alpha$  -частиц от времени пролета нейтронов; стрелками указаны положения резонансов, энергия которых определена по измерению реакции ( $n, \gamma$ ) с лучшей разрешающей способностью, чем для реакции ( $n, \alpha$ ). Асимметрия резонансных пиков связана с формой нейтронной вспышки.

В табл. 1 приведены суммы счетов  $\alpha$  -частиц в резонансных пиках. Вклады для неразделенных резонансов выделялись и оценивались графически по методу экспериментальной формы одиночного пика. Там же даются полные  $\alpha$  -ширины, определенные из сравнения выходов в реакциях ( $n, \alpha$ ) и ( $n, \gamma$ )<sup>18</sup> с нормировкой на величину  $\Gamma_\alpha = (2,5 \pm 0,3)$  мкэв для резонанса с  $E_0 = 3,4$  эв<sup>18</sup>. Здесь учтены только статистические ошибки и неопределенность выделения резонансных пиков.

На рис. 2 показаны спектры  $\alpha$  -частиц распада 11 резонансных состояний и спектр фона между резонансами 3,4 и 18,3 эв. Сверху дается шкала энергий  $\alpha$  -частиц в Мэв; стрелками показаны ожидаемые по-

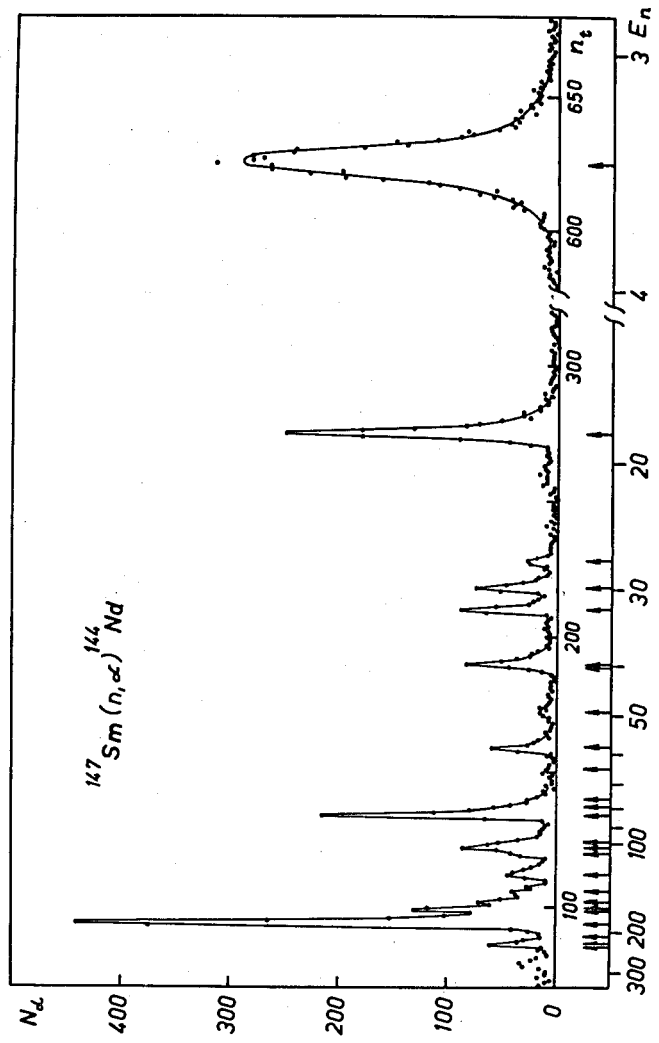


Рис. 1.

Таблица 1

Полные и парциальные  $\alpha$ -ширины и спины резонансов  
в реакции  $^{147}\text{Sm}(n, \alpha)^{144}\text{Nd}$

$E_\alpha$ (эВ)	$\sum N_\alpha$ $\pm \Delta \sum N_\alpha$	$\Gamma_\alpha$ (мкэв)	$\Gamma_{\alpha_0}$ (мкэв)	$\Gamma_{\alpha_1}$ (мкэв)	$\Gamma_{\alpha_2}$ (мкэв)	$\Gamma_{\alpha_{3+4}}$ (мкэв)	$J^\pi$
3,4	$4970 \pm 73$	$2,5 \pm 0,3$	$I, I7 \pm 0,25$	$I, II \pm 0,22$		$0,19 \pm 0,065$	$3^-$
18,3	$1236 \pm 37$	$0,36 \pm 0,01$	-	$0,11 \pm 0,013$	$0,23 \pm 0,02$	-	$4^-$
27,1	$96 \pm 15$	$0,36 \pm 0,06$	-	$0,15 \pm 0,05$	-	$0,08 \pm 0,03$	$(4^-)$
29,7	$250 \pm 21$	$0,52 \pm 0,045$	$0,27 \pm 0,06$	$0,10 \pm 0,04$	-	$0,12 \pm 0,04$	$3^-$
32,1	$295 \pm 22$	$0,26 \pm 0,02$	-	$0,20 \pm 0,034$	-	$0,05 \pm 0,03$	$(4^-)$
39,7	$285 \pm 21$	$0,27 \pm 0,02$	$0,04 \pm 0,01$	$0,12 \pm 0,024$	$0,11 \pm 0,023$	-	$(3^-)$
49,3	$42 \pm 17$	$0,15 \pm 0,06$					
57,9	$151 \pm 17$	$0,43 \pm 0,05$	-	$0,35 \pm 0,085$	-	$0,043 \pm 0,026$	$(4^-)$
76,0	$9 \pm 9$	$0,05 \pm 0,05$					
79,8	$10 \pm 10$	$0,33 \pm 0,33$					
83,3	$631 \pm 29$	$2,32 \pm 0,11$	$I, 32 \pm 0,17$	$0,83 \pm 0,13$	-	$0,12 \pm 0,08$	$3^-$
99,5	$50 \pm 25$	$0,14 \pm 0,07$					
102,6	$227 \pm 44$	$I, 2 \pm 0,23$	$0,12 \pm 0,06$	$0,96 \pm 0,27$	-	$0,12 \pm 0,08$	$(3^-)$
106,8	$83 \pm 30$	$0,57 \pm 0,27^*)$					
123,4	$184 \pm 17$	$0,94 \pm 0,09$	$0,52 \pm 0,12$	$0,24 \pm 0,08$		$\sim 0,19$	$3^-$
151,3	$73 \pm 36$	$0,68 \pm 0,34$					
160,8	$148 \pm 50$	$0,58 \pm 0,20$					
163,6							
183,7	$1763 \pm 70$	$I5,7 \pm 0,65$	$\sim I5,7$	$< 0,55$			$3^-$

\* ) Ошибка увеличена из-за возможного вклада неразделенного резонанса  $108,4$  эв.

локации групп  $\alpha$ -частиц, соответствующих переходам в состояния конечного ядра  $^{144}\text{Nd}$  согласно схеме уровней, представленной на рис. 3/12/.

На рис. 4 показаны схемы  $\alpha$ -распада отдельных резонансов. На нем даются в процентах относительные интенсивности переходов. Парциальные  $\alpha$ -ширины приведены в таблице 1. В случае неразделенных нами переходов 3 и 4 дается суммарная парциальная  $\alpha$ -ширина.

#### 4. Обсуждение результатов

Полагая, что все рассматриваемые нами состояния являются результатом захвата  $^3\text{n}$ -нейтронов, получаем для них отрицательную чётность и два возможные значения спина: 3 или 4. Поскольку  $\alpha$ -распад из состояний  $4^-$  в состояние дочернего ядра с  $I^\pi = 0^+$  запрещен, наличие  $\alpha$ -перехода в основное состояние  $^{144}\text{Nd}(0^+)$  однозначно указывает на спин  $3^-$  распадающегося резонанса. На этом основании анализ спектров позволяет приписать значение спина  $3^-$  резонансам с  $E_0 = 9,4; 29,7; 83,3; 123,4$  и  $183,7$  эв. Из-за возможного вклада соседних резонансов в  $\alpha$ -спектры из распада состояний с  $E_0 = 27,1; 39,7$  и  $102,6$  эв пока для них невозможно сделать столь определенную идентификацию по спинам.

Среди исследуемых резонансов чётко выделяется резонанс с  $E_0 = 183,7$  эв своей полной  $\alpha$ -шириной, которая примерно на порядок больше максимальной  $\alpha$ -ширины из всех остальных резонансов. К тому же у него наблюдается почти исключительно переход в основное состояние дочернего ядра. С точки зрения статистической теории такая флуктуация крайне маловероятна, и поэтому в обсуждении статистических свойств  $\alpha$ -ширин этот аномальный резонанс мы не будем учитывать.

На рис. 5 показаны интегральные распределения приведенных парциальных  $\alpha$ -ширин для перехода в основное состояние (снизу) и в первое возбужденное (вверху). Первому соответствует одно значение орбитального момента вылетающей  $\alpha$ -частицы  $l = 3$ ; экспериментальное распределение хорошо описывается  $\chi$ -квадрат распределением с  $v = 1$ , что свидетельствует в пользу справедливости предположения Портера-Томаса<sup>/13/</sup> о распределении амплитуд приведенных ширин. В переходах

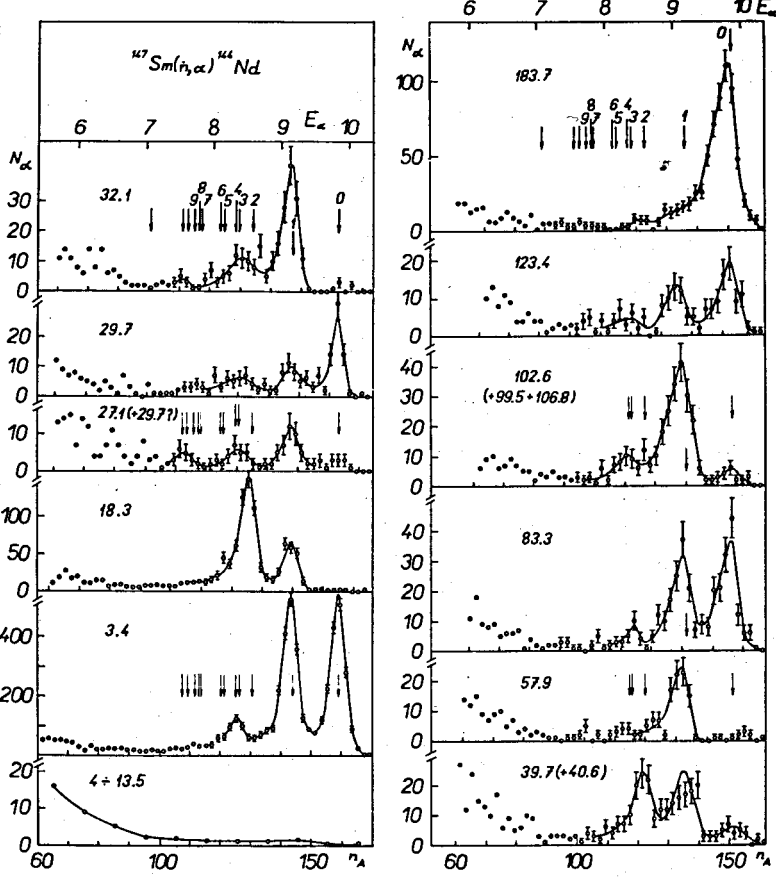


Рис. 2.

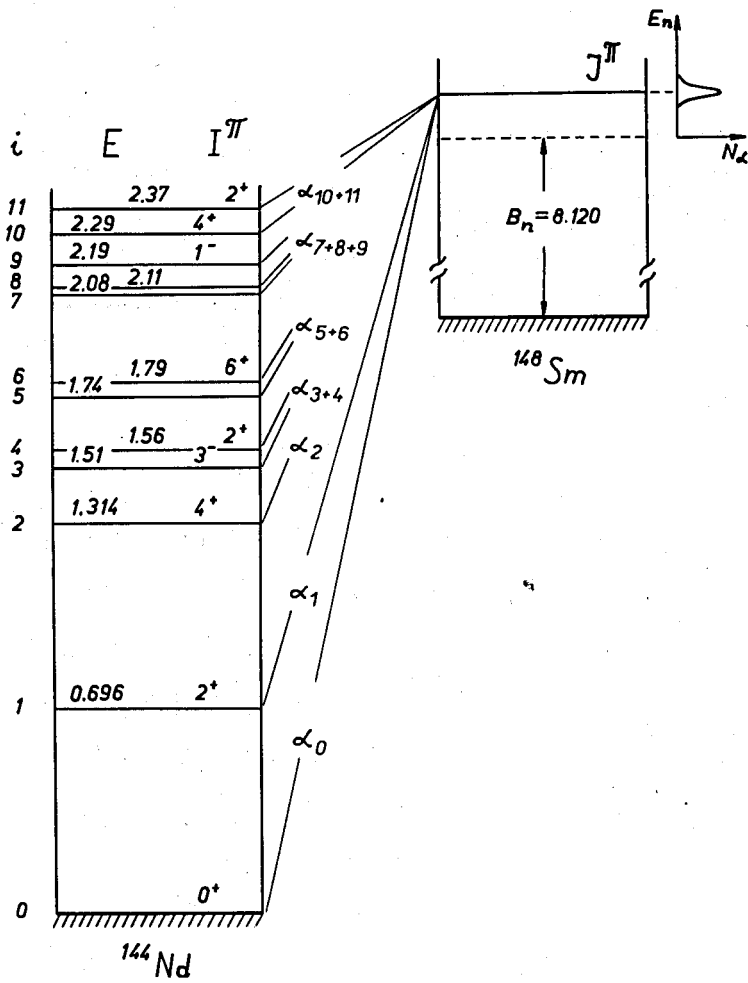


Рис. 3.

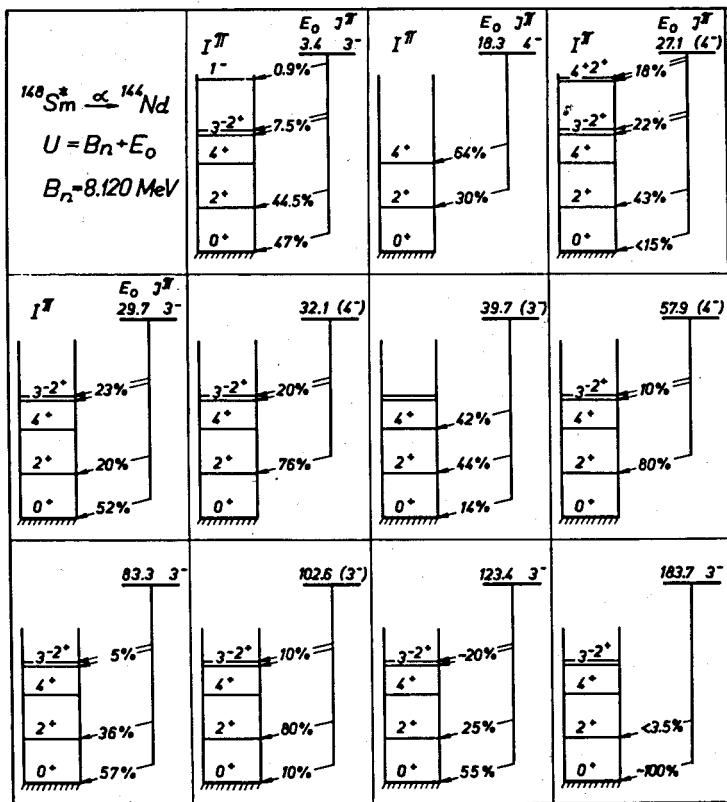


Рис. 4.

на первое возбужденное состояние могут участвовать два или три значения  $\ell$  в зависимости от спина резонанса. Поскольку мы не можем выделить вклады с отдельными значениями  $\ell$ , то на рисунке дается распределение величин

$$\gamma_{a_1}^2 = \frac{\Gamma_{a_1}}{2(\sum_{\ell} P_{\ell})}, \quad (1)$$

являющихся усредненными по  $\ell$  с весом, равным проницаемости потенциального барьера для  $a$ -частицы с данным  $\ell$ :  $P_{\ell}$ . Отметим, что знаменатель в формуле (1) является константой для всех резонансов определенного спина. Как следует из эксперимента, распределение  $\gamma_{a_1}^2$  в случае перехода в первое возбужденное состояние оказывается более узким, чем для  $\nu = 1$ . Этот факт можно объяснить тем, что распределение вылетающих  $a$ -частиц по орбитальным моментам  $\ell$  происходит в основном до вылета  $a$ -частиц из ядра и в каждом резонансе по своему. Тогда можно заранее, зная величины  $P_{\ell}$ , рассчитать величину  $\nu$  по формуле (8) из<sup>11</sup>; в нашем случае  $\nu \approx 2$ .

Интересно отметить, что с точки зрения распределения величин  $\gamma_{a_1}^2$  (рис. 5) влиянием взаимодействия вылетающих  $a$ -частиц с динамическим моментом остаточного ядра (<sup>144</sup>Nd в состоянии  $I^{\pi} = 2^+$ ) можно пренебречь, поскольку для всех резонансов это взаимодействие будет одинаковым. Кроме того, не исключено, что это взаимодействие вообще мало в данном случае, поскольку средние приведенные  $a$ -ширины для распадов резонансных состояний с  $J^{\pi} = 3^-$  (возможны  $\ell = 1; 3; 5$ ) и  $J^{\pi} = 4^-$  ( $\ell = 3; 5$ ) в первое возбужденное состояние дочернего ядра близки между собой.

На рис.6(а) дается распределение полных  $a$ -ширин для резонансов с  $E_0 < 152$  эв. Сплошной линией нанесено ожидаемое из статистических закономерностей распределение<sup>11</sup>; пунктирные линии показывают ожидаемое распределение для ширин резонансов со спинами  $3^-$  и  $4^-$  отдельно. В верхней части рисунка (в) представлена зависимость вероятности для резонанса иметь спин  $3^-$  при заданном значении  $a$ -ширины. Резонансы с  $\Gamma_a > 0,8$  мкэв с вероятностью  $> 99\%$  имеют спин  $3^-$ .

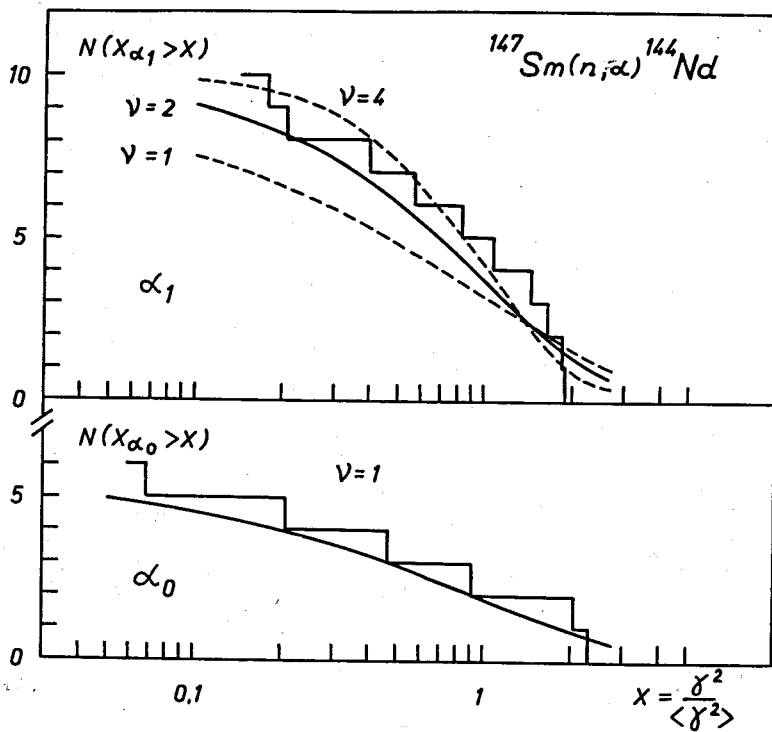


Рис. 5.

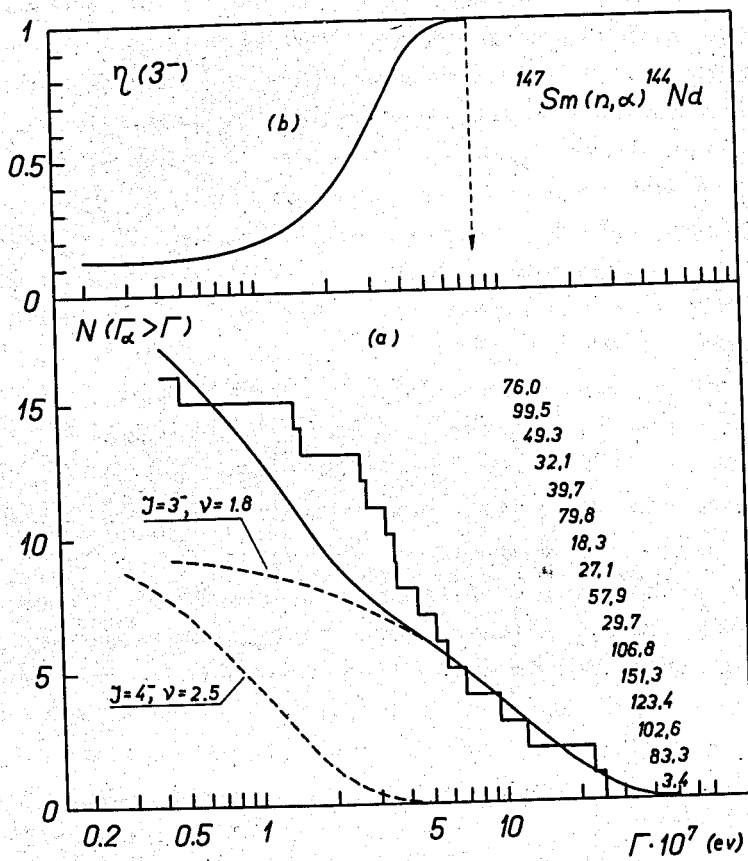


Рис. 6.

Определенные таким образом спины  $3^-$  для резонансов 3,4; 83,3; (102,6) и 123,4 эв совпадают со значениями спинов, полученных из спектров  $\alpha$ -частиц.

Недавно появилась работа<sup>/14/</sup>, являющаяся первой попыткой связать структуру резонансных состояний ядра с парциальными ширинами  $\alpha$ -и  $\gamma$ -распадов. Основываясь на выводах этой работы и результатах настоящей, можно, по-видимому, считать, что резонансное состояние 183,7 эв отличается от других сравнительно большим вкладом простого двухквантовичастичного возбуждения типа частица-частица.

Поскольку форма спектров  $\alpha$ -частиц является отражением структуры относительного вклада компонент, способствующих образованию  $\alpha$ -частицы из нуклонов в возбужденном ядре, то сходство спектров в резонансах 3,4; 83,3 и 123,4 эв указывает на похожую в упомянутом смысле структуру этих резонансов. Хотелось бы в связи с этим обратить внимание на то, что эти три уровня вместе с резонансами 40,6 (или 39,7) эв и 163,6 (или 160,6) эв,  $\alpha$ -спектры которых подробно еще не измерялись, образуют систему почти эквидистантных резонансов (эквидистантность для других ядер отмечалась в<sup>/15/</sup>).

В работе<sup>/14/</sup> предсказывается увеличение в среднем приведенной  $\alpha$ -ширины перехода в однофононное возбужденное состояние конечного ядра по сравнению с переходом в основное. По-видимому, первое возбужденное состояние ядра  $^{144}\text{Nd}$  ( $2^+$ ) является однофононным. Если не учитывать в усреднении аномальной ширины резонанса 183,7 эв, то наши результаты измерений подтверждают этот вывод, так как:

$$\frac{\langle \gamma_{\alpha_1}^2 \rangle}{\langle \gamma_{\alpha_0}^2 \rangle} = \frac{\langle \Gamma_{\alpha_1} \rangle}{\langle \Gamma_{\alpha_0} \rangle} \frac{(P_3)_0}{(\sum_l P_l)_1} \approx 3.$$

Этот результат, однако, противоречит предположению статистической теории, в которой считается, что средние приведенные  $\alpha$ -ширины должны быть одинаковыми для переходов в любое конечное состояние.

Интересно обратить внимание на заметное ослабление ( $\alpha$ , возможно, и отсутствие) во многих резонансах переходов на второе возбужденное

состояние  $4^+$ . Проявляются они только в двух резонансах. В то же время  $\alpha$ -переходы в следующие состояния  $3^-$  и  $2^+$  (неразделенные), лежащие примерно на 200 кэВ выше, проявляются по крайней мере в семи резонансах.

Возможность существования заметных переходов на более высокие уровни требует еще подтверждения, которое можно будет получить с помощью измерений с лучшим разрешением по энергии  $\alpha$ -частиц и большей статистической точностью.

Авторы выражают благодарность Э.Н. Каржавиной и А.Б. Попову за измерения радиационного захвата на самарии.

Авторы признательны Ф.Л. Шапиро, В.Г. Соловьеву и В.И. Фурману за полезные обсуждения, К.Г. Родионову, И.А. Стойкову за помощь в измерениях, А.В. Грачевой, М. Флорековой, М.В. Фронтасьевой и Р. Хорват за помощь в обработке экспериментальных данных, Ж. Глаузис - за изготовление мишеней, В.С. Золотареву и его сотрудникам - за представление разделенных изотопов.

#### Литература

1. R.D. Macfarlane, I. Almodovar. Phys. Rev., 125, 1665 (1962).
2. E. Cheifetz, J. Gilat, A.I. Yavin, S.G. Cohen. Phys. Lett., 1, 289 (1962).
3. В.Н. Андреев, С.М. Сироткин. ЯФ, 1, 252 (1965).
4. N.S. Oakey, R.D. Macfarlane. Phys. Lett., 24B, 142 (1967).
5. J. Kvitek, Yu.P. Popov. Phys. Lett., 22, 186 (1966).
6. И. Квитец, Ю.П. Попов. Письма ЖЭТФ, 5, 385, (1967).
7. Ю.П. Попов, М. Флорек, ЯФ, 9, 1163 (1969).
8. J. Kvitek, Yu.P. Popov. Nucl. Phys., 154A, 177 (1970).
9. Ю.П. Попов, М. Стэмпинский. Известия АН СССР, сер. физ., т. XXII 1964 (1968).
10. Ю.П. Попов, М. Пшитула, К.Г. Родионов, Р.Ф. Руми, М. Стэмпинский, В.И. Фурман. Препринт ОИЯИ РЗ-5073, Дубна, 1970.

11. Ю.П. Попов, М. Пшитула, Р.Ф. Руми, М. Стэмпиньски, М. Флорек, В.И. Фурман. Сообщение ОИЯИ Р15-5163, Дубна, 1970.
- "Nuclear Data for Reactors" v. I, p. 669. IAEA, Vienna (1970).
12. L.V. Groshev, A.M. Demidov, V.I. Pelekhov et al. Nuclear Data Tables, Sec. A, vol. 5, N 1-2 (1968).
13. C.E. Porter, R.G. Thomas. Phys.Rev., 104, 483 (1956).
14. В.Г. Соловьев. Препринт ОИЯИ Е4-5135, Дубна, 1970.
15. K. Ideno, M. Ohkubo. JAERI-memo 4072, June 1970, unpublished.

Рукопись поступила в издательский отдел

30 декабря 1970 года.